



بَحْثُ جُغْرَافِيَّةٍ



١٧

التحليل التكراري للمباني الإطال
في
منطقة القويعة بالمملكة العربية السعودية

د. محمد بن محمد الصالح

١٩٩٤م

١٤١٤هـ

سلسلة بحوث جغرافية ونصير د. محمد بن محمد الصالح
جامعة الملك سعود - الرياض - المملكة العربية السعودية



بَحْوثُ جُغْرَافِيَّة



١٧

التحليل التكراري لكميات الأمطار في منطقة القوية بالمملكة العربية السعودية

د. محمد بن عبدالله الصالح

١٩٩٤م

١٤١٤هـ

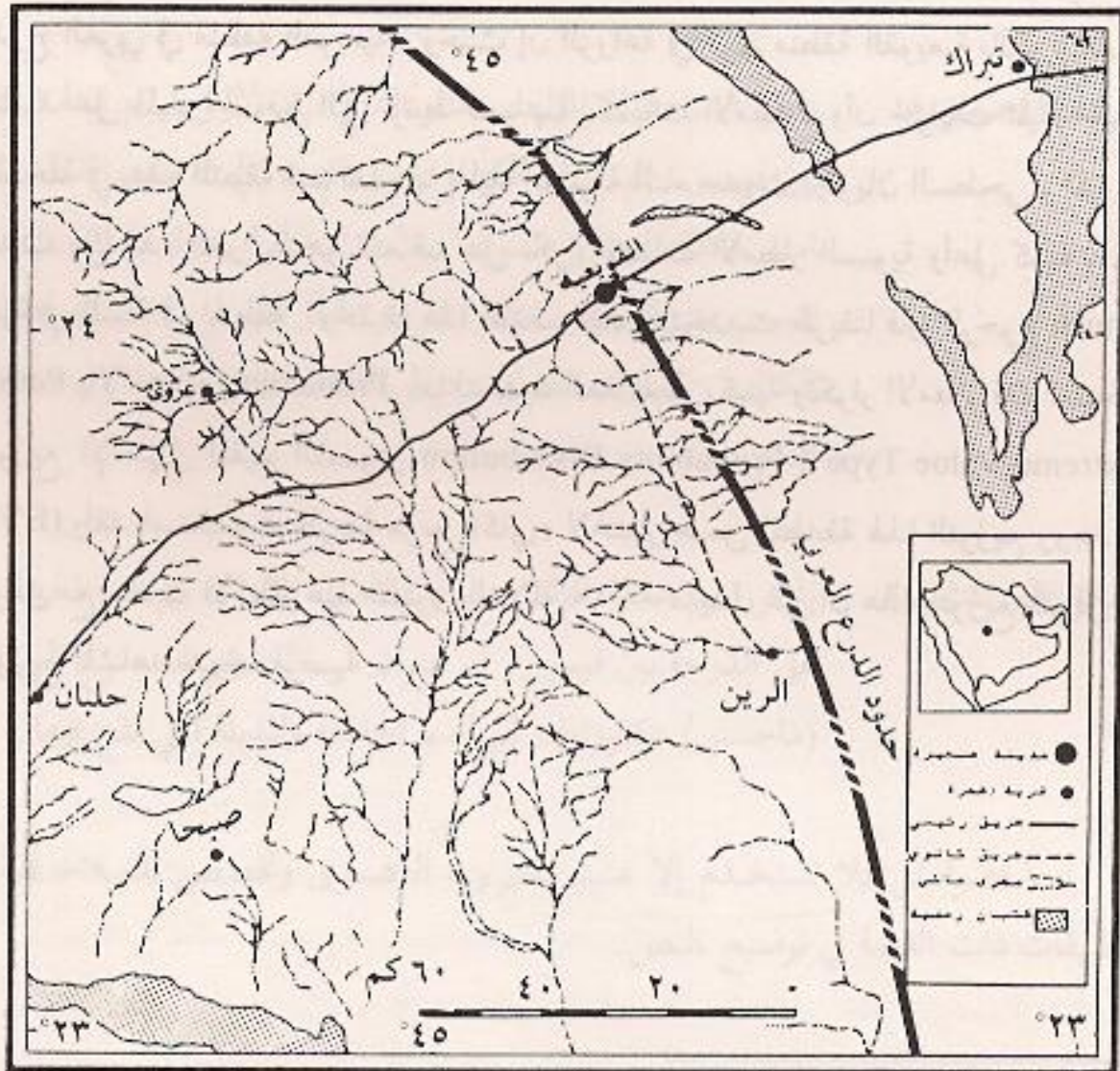
سلسلة بحوث جغرافية نشرها د. محمد بن عبد الله الصالح
بمركز البحوث الجغرافية بالمملكة العربية السعودية

ملخص البحث

تعد الزراعة المروية التقليدية من الأنشطة الرئيسة لسكان القرى المنتشرة في أودية الدرع العربي في منطقة القويبية . وحيث إن الزراعة في قرى منطقة القويبية بالدرع العربي تعتمد على المياه الجوفية التي ترتبط كمياتها بكميات الأمطار، وأن خزانات المياه الجوفية الضحلة في هذه المنطقة تتم تغذيتها بالمياه المتسربة أثناء حدوث الجريان السطحي، لذا فإن الهدف من هذه الدراسة هو التعرف على تكرار كميات الأمطار السنوية وأعلى كمية أمطار يومية في السنة في المنطقة . وتحقيقاً لهذا الهدف فقد استخدمت طريقتا فترة الرجوع Return Period والاحتمالية Probability. أما لتحديد العلاقة بين كمية وتكرار الأمطار فقد استخدم التوزيع الإحتمالي للقيم القصوى Extreme Value Type 1 Probability Distribution (EVI). ولقد استخدمت طريقة مربع «كاي» لاختبار حسن المطابقة لهذا التوزيع ووجد أنه متوافق مع بيانات الأمطار عند مستوى الدلالة 0,10 مما يدل على أن هذا التوزيع متوافق مع التوزيع المشاهد بدرجة مرضية.

المقدمة

تقع منطقة القويعية في وسط المملكة العربية السعودية فهي تحتل مساحة تمتد بين دائرتي عرض 23° و 25° و 24° شمالاً وخطي طول 40° و 45° و 46° شرقاً (شكل ١). ومن الناحية الجيولوجية يقع الجزء الغربي من المنطقة ضمن الدرع العربي الذي يتكون من صخور نارية و متحولة بينما يقع الجزء الشرقي ضمن الرف العربي الذي يتكون من صخور رسوبية.



شكل ١: خريطة منطقة القويعية

المصدر: وزارة البترول والثروة المعدنية، الخرائط الجغرافية: رقم ٢٠٦ ورقم ٢٠٧ ورقم ٢١١ ورقم ٢١٢.

وتشتمل المنطقة على مدينة القويعية وعلى قرى وهجر عديدة تنتشر غالبيتها في أودية الدرع العربي. وتعد الزراعة المروية التقليدية من الأنشطة الرئيسة لسكان هذه القرى. وتعتمد الزراعة في الدرع العربي من منطقة القويعية كلية على المياه الجوفية المتجددة المخزونة في رواسب الأودية وما تحتها من صخور مجواة Weathered أو صدوع Fractures. كما أن خزانات المياه الجوفية في هذه المنطقة تمتد على مساحات صغيرة الأمر الذي يدل على «المحلية» Locality في تغذيتها. لذا فإن كمية المياه الجوفية في هذه الخزانات تتذبذب بشكل سريع وفقاً لمعدلات التغذية ومعدلات السحب المحلية.

وتعتمد تغذية خزانات المياه الجوفية في أودية الدرع العربي بشكل أساسي على الأمطار المحلية ولكنها تتأثر بمجموعة من العوامل الجوية والهيدرولوجية والجيومورفولوجية (Abdulrazzak, 1988; Basmaci and Hussein, 1988). ونظراً لأن الأمطار في منطقة القويعية تسقط في فترة زمنية قصيرة وبمعدلات تزيد على معدلات التبخر في تلك الفترة لذا فإن جزءاً من المياه الساقطة يتسرب إلى التربة وجزءاً منها يجري على السطح. والمياه التي تتسرب مباشرة قد تصل إلى مستوى سطح الماء الجوفي وتغذي الخزان ولكن التغذية بالمياه المتسربة مباشرة محدودة وذلك لأن المنطقة ذات طبيعة جبلية والأمطار تسقط في فترة زمنية قصيرة. الأمر الذي يجعل التغذية بالمياه الجارية هي السائدة في المنطقة وذلك لأن الرواسب الفيضية في الأودية لها نفاذية عالية تسمح بتسرب كميات كبيرة من المياه تغذي بدورها المياه الجوفية (Dincer, 1980; Lloyd, 1980; Sorman and Abdulrazzak, 1993).

وكثافة الأمطار في المملكة العربية السعودية عالية بشكل عام، إذ أن حوالي ٥٠٪ من الأمطار تسقط بكثافة تزيد على ٢٠ مم / ساعة وأن ما بين ٢٠-٣٠٪ من الأمطار تتجاوز كثافتها ٤٠ مم / ساعة (Jones, 1981). ويقدر أن حدوث الجريان في المناطق الصحراوية Threshold يبدأ عندما تتراوح كثافة الأمطار ما بين ٥ مم و ٢٠ مم / ساعة (Lloyd, 1980). وفي تجربة أجريت على منطقة رملية في صحراء النقب بالأراضي المحتلة وجد أن معامل الجريان لأمطار كثافتها ٤, ١٨ مم / ساعة يصل إلى ٣٩, ٥٪

(Yair, p. 1990, 604). لذا فإنه على الرغم من قلة العواصف الممطرة في المناطق الصحراوية إلا أن بعضها يؤدي إلى حدوث جريان سطحي. فلقد ذكر الوليعي (١٩٨٨م) أن المطر في المملكة العربية السعودية يسقط «على شكل زخات أمطار شديدة في معظم الأحيان وتدوم عدة دقائق فقط وتغطي منطقة محدودة من الأرض وهذه هي الصفة الغالبة على أقطار المناطق الجافة عموماً. وفي يوم واحد قد تتعدى نسبة ما يسقط من الأمطار متوسط المطر السنوي لمنطقة من المناطق» (الوليعي، ١٩٨٨م، ص ٥٤).

هدف الدراسة

وحيث إن الزراعة في قرى منطقة القويعية بالدرع العربي تعتمد على المياه الجوفية التي ترتبط كمياتها بكميات الأمطار، وأن خزانات المياه الجوفية الضحلة في هذه المنطقة تتم تغذيتها بالمياه المتسربة أثناء حدوث الجريان السطحي، لذا فإن تحليل بيانات الأمطار ضروري عند التخطيط لتنمية وإدارة الموارد المائية في المنطقة. عليه فإن هذه الدراسة تهدف إلى التعرف على تكرار كميات الأمطار السنوية وأعلى كمية أمطار يومية في السنة في محطات المنطقة وبالتالي تقديرها لفترات الرجوع المختلفة في مواقع المحطات Point analysis وفي المنطقة بأكملها Regional analysis.

أساليب الدراسة

تحقيقاً لهدف هذه الدراسة فقد اتبعت الخطوات التالية:

- ١ - الحصول على بيانات الأمطار لمحطات القويعية وعروى وصبحا والرين من وزارة الزراعة والمياه وذلك للفترة من ١٩٦٦-١٩٩١م.
- ٢ - تحديد أعلى كمية أمطار يومية في السنة للفترة من ١٩٦٦-١٩٩١م.
- ٣ - حساب التكرارات النسبية لفئات الأمطار السنوية وأعلى كمية أمطار يومية في السنة.

٤ - حساب فترة الرجوع Return period واحتمالية التجاوز Exceedence probability للأمطار السنوية ولأعلى كمية أمطار يومية في السنة وذلك بتطبيق المعادلتين التاليتين (Viessman, 1977):

$$T = n + 1/m$$

$$p = 1/T = m/n + 1$$

حيث إن :

T = فترة الرجوع بالسنين .

n = عدد السنوات خلال فترة التسجيل .

m = رتبة كمية الأمطار .

p = احتمالية التجاوز .

٥ - حساب احتمالية حدوث الأمطار السنوية وأعلى كمية أمطار يومية في السنة خلال السنوات القادمة وذلك بتطبيق المعادلة التالية (Chow et al, 1988):

$$q = 1 - (1 - p)^N$$

حيث إن :

q = احتمالية حدوث الأمطار السنوية أو أعلى كمية أمطار يومية في السنة خلال سنوات محددة قادمة .

p = احتمالية التجاوز .

N = عدد السنوات المحددة القادمة .

٦ - تطبيق طريقة التوزيع الاحتمالي المعتدل (الطبيعي) Normal Probability distribution وطريقة التوزيع الاحتمالي للقيم القصوى نوع ١ Extreme Value Type 1 Probability distribution على بيانات الأمطار السنوية وأعلى كمية أمطار يومية في السنة .

٧ - لاختيار التوزيع الاحتمالي الأكثر توافقاً مع بيانات الأمطار في محطات المنطقة ثم اختبار حسن المطابقة Goodness of Fit للتوزيعين المذكورين وذلك باستخدام طريقة مربع كاي التالية (Chow, et al, 1988):

$$X^2 = n \sum (f_x - p_x)^2 / p_x$$

حيث إن :

$$X^2 = \text{مربع كاي} .$$

$$n = \text{عدد السنوات خلال فترة التسجيل} .$$

$$fx = \text{التكرار النسبي} .$$

$px =$ الفرق بين قيم الإحتمالية التجمعية F_x والتي يمكن الحصول عليها بالنسبة

للتوزيع الإحتمالي بحساب z ثم الرجوع إلى جداول خاصة، حيث إن z تحسب

بالمعادلة التالية :

$$z = (x - \bar{x}) / s$$

أما بالنسبة للتوزيع الإحتمالي للقيم القصوى فتحسب F_x من المعادلة التالية :

$$F_x = e^{-e^{-Y}}$$

$$Y = (x - u) / a$$

$$a = 2.4495s \div 3.1416$$

$$u = \bar{x} - 0.5772a$$

حيث إن :

$$s = \text{الانحراف المعياري} .$$

$$x = \text{أعلى قيمة أمطار في كل فئة} .$$

$$\bar{x} = \text{معدل الأمطار} .$$

٨ - نظراً لتوافق نموذج التوزيع الإحتمالي للقيم القصوى نوع ١ مع بيانات الأمطار في

هذه الدراسة، لذا فقد تم تقدير الأمطار السنوية وأعلى كمية أمطار يومية في السنة

لفترات الرجوع المختلفة وذلك بتطبيق هذا النموذج وفقاً للصيغة التي اقترحها

(Chow (1951):

$$x_T = \bar{x} + KTs$$

$$KT = -0.7797 \{0.5772 + \ln[\ln(T/T-1)]\}$$

حيث إن :

$$T = \text{فترة الرجوع بالسنين} .$$

xT = كمية الأمطار لفترة رجوع معينة T .

\bar{x} = معدل الأمطار.

KT = معامل التكرار لفترة رجوع معينة T .

s = الانحراف المعياري.

٩ - استخدام طريقة Station-Year method للتحليل الإقليمي . ولتطبيق هذه الطريقة يشترط أن يكون الإقليم متجانسًا. ولهذا الغرض استخدم اختبار كروسكال واليس (Kruskal - Wallis H-test) (Gilman, 1964; Oyebande, 1982; AlShaikh, 1985; Buishand, 1991).

(AlShaikh, 1985; Buishand, 1991)

التحليل والمناقشة

يبين الجدول رقم (١) الأمطار السنوية وأعلى كمية أمطار يومية في كل سنة لمحطات القويعية وعروى وصبحا والرین . ومن هذا الجدول يتبين أن المعدلات السنوية للأمطار في محطات المنطقة تتراوح ما بين ٤, ٧٥ مم في محطة صبحا و ٣, ١١٧ مم في محطة القويعية وذلك بفارق ٩, ٤١ مم بين أعلى وأدنى معدل سنوي في محطات المنطقة . وباستخراج المتوسط الحسابي لمعدلات الأمطار في هذه المحطات وجد أن المعدل العام للأمطار السنوية بمنطقة القويعية يساوي ٧, ٩٣ مم . أما معدل أعلى كمية أمطار يومية في السنة فإنه يتراوح ما بين ٢, ١٨ مم في محطة صبحا و ٤, ٢٣ مم في محطة الرین وذلك بفارق ٢, ٥ مم .

ويتضح من الجدول رقم (١) أيضا أن ما بين ٥٨٪ إلى ٦٩٪ من الأمطار السنوية في محطات المنطقة تكون أقل من المعدلات السنوية فيها . وللحصول على صورة أوضح تم حساب التكرار النسبي للأمطار السنوية وأعلى كمية أمطار يومية في السنة وقد مثلت النتائج في الشكلين (٢) و(٣) . فمن شكل (٢) يتبين على سبيل المثال أن حوالي ٤٠٪ من الأمطار السنوية في محطتي صبحا والرین لا تزيد كمياتها على ٥٠ مم . أما في محطتي القويعية وعروى فإن كمية الأمطار السنوية لهذه الفئة لا تمثل إلا ١٥٪ و ١٩٪ على

جدول ١ . الأمتار السنوية وأعلى كمية أمطار يومية في منطقة القروية بالمليتر

اليومية	محطة الرين		محطة صيحا		محطة عروى		محطة القروية		السنة
	اليومية	السنوية	اليومية	السنوية	اليومية	السنوية	اليومية	السنوية	
١٠,٣	٢,١	٥,١	٣٣,٣	١٠,٤	٢٤,٣	١٠,٧	٢٥,٦	١٩٦٦	
٥٠,٠	٩١,٠	١٦,٠	٨٩,٤	١٤,٠	٧٨,٨	١٤,٢	٩١,٧	١٩٦٧	
١٣,١	٤٤,١	٢٠,٣	١٣٨,٦	١١,٧	١٠٧,٦	١٢,٧	١٠٧,٧	١٩٦٨	
٢٦,٠	١٠٧,٤	٢٠,٠	١٣٩,٠	٢٢,٠	٩٣,٤	٣٥,٤	٢٨٦,٥	١٩٦٩	
٨,٢	١٦,٩	١٢,٠	٦٤,٠	١٢,٨	٣٣,٠	٠,٩	٢,٧	١٩٧٠	
٤,٠	٥,٥	١٨,٠	١٠٣,٠	٣٦,٨	١١٦,٦	١٩,٠	٩٢,٠	١٩٧١	
٢٣,٨	١٧١,٦	٢٠,٠	١٢٠,٠	١٠,٤	٣٣,٩	٢٧,٠	٢١١,٣	١٩٧٢	
١٧,٠	٥٠,٤	٦,٠	٣٤,٠	١١,٥	٦٥,٠	١٥,٦	١٢٧,٤	١٩٧٣	
٢٢,٢	١٢٠,٤	٣١,٠	١١٨,٧	٤١,٥	١٤١,٦	٢٢,٥	١٧٠,٧	١٩٧٤	
٢٣,٥	١٥٩,٠	٢٢,٠	١٧٨,٩	٤٩,٨	٢٣٨,٢	١٦,٥	٢٤٢,٦	١٩٧٥	
١٨,٢	٢٢٣,٤	٢٨,٠	١٣٧,١	٢٧,٥	١٨٢,٩	١٩,٠	٢١٢,٨	١٩٧٦	
٨,٥	٥٢,٨	١٥,٠	٧٣,٣	١١,٠	٦٥,٤	١١,٠	٦٠,٢	١٩٧٧	
١١,٠	٢٦,٢	٩,٠	٢٠,١	١٣,٠	٦٢,٦	١٠,٩	٤٤,٩	١٩٧٨	
٢٧,٠	٧٥,٥	٢٠,٠	٤٨,٢	١٢,٠	٣١,٢	٢٥,٥	٩٥,٢	١٩٧٩	
٢٠,٠	٣٨,٠	١٠,٠	١٤,٥	٣٢,٠	٨٧,٩	٤٤,٠	١١٥,٥	١٩٨٠	
٧,٠	٣٧,٥	٨,٠	٨,٠	١٦,٥	٥٩,٠	٢٠,٥	٧٧,١	١٩٨١	
٣٩,٢	٢١٤,٤	٥٢,٠	٢٢٢,٠	٣٢,٢	١٠٢,٠	٤٢,٩	١٧١,٣	١٩٨٢	
٢٣,٠	٥٤,٦	٤١,٠	٦٢,٠	٨,٠	٣٣,٨	١٠,٥	٦٤,٨	١٩٨٣	
٦٥,٠	١٤٦,٠	٢٢,٠	٣٢,٥	٢٦,٥	٦٣,٠	٢٧,٠	٩٥,٦	١٩٨٤	

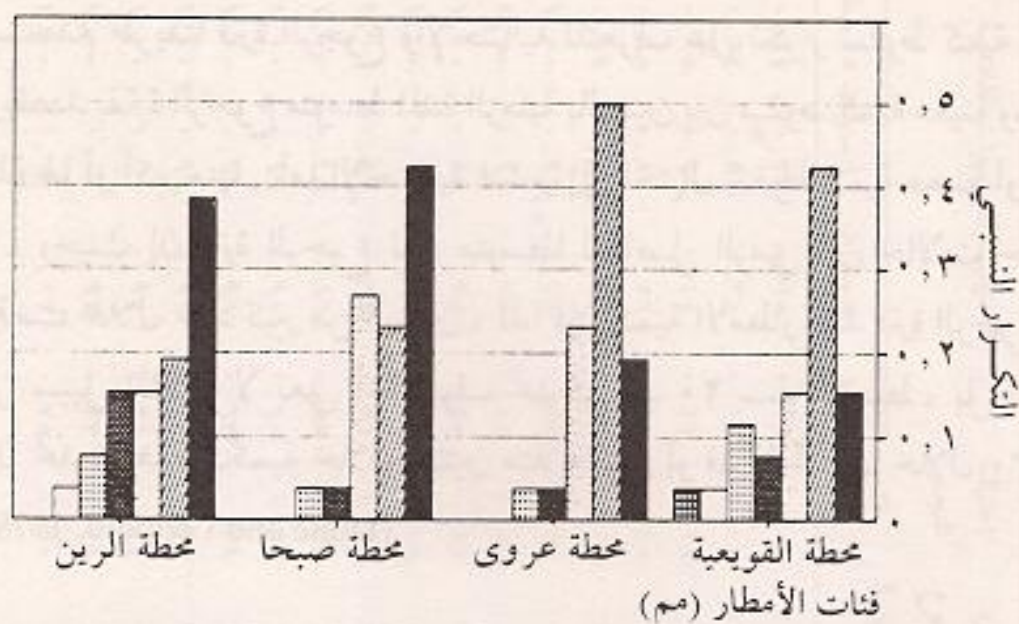
جدول ١ . الأمطار السنوية وأعلى كمية أمطار يومية في منطقة القروية بالمليمة

السنة	محطة القروية		محطة صبحا		محطة عروى		محطة الزوينة	
	اليومية	السنوية	اليومية	السنوية	اليومية	السنوية	اليومية	السنوية
١٩٨٥	٢٠,٠	١٢٠,٠	٥,٠	١٣,٠	٢١,٥	٧٧,٥	٣٢,٨	٩٩,٥
١٩٨٦	٢٥,٠	١٩٣,٠	٥٠,٠	١٣٨,٠	٣١,٠	٥١,٠	٦٢,٤	٣٤٥,٦
١٩٨٧	١١,٥	٢٨,٥	١٦,٠	٥٩,٩	٢٥,٥	١٣٥,٧	٢٤,٤	٥٩,٢
١٩٨٨	٤٠,٥	١٩٦,٥	١٠,٠	٣٨,٥	١٥,٠	١٠٦,٢	٢٥,٩	٧٦,١
١٩٨٩	٤٥,٥	٣١٣,٠	١٣,٠	٥٩,٢	٢٢,٠	٧٥,٠	٤١,٧	١٠٠,٢
١٩٩٠	١٢,٠	٢٩,٣	٥,٠	١٤,١	٦,٩	٥٠,١	٩,٣	٦٩,٤
١٩٩١	٦,٣	٣٩,١	.	.	٩,٠	٦٣,٤	٢,٤	٤,٧
المعدل	٢٣,٤	٩٨,٣	١٨,٢	٧٥,٤	٢٠,٤	٨٣,٨	٢٢,٥	١١٧,٣
الانحراف المعياري	١٧,١	٨١,٥	١٣,٢	٥٨,٥	١١,٤	٤٩,٤	١٤,٢	٨٤,٣
معامل الاختلاف (%)	٧٣,١	٨٢,٩	٧٢,٥	٧٧,٦	٥٥,٩	٥٨,٩	٦٣,١	٧١,٩

* معامل الاختلاف = (الانحراف المعياري ÷ المعدل) × ١٠٠
 مصدر البيانات : وزارة الزراعة والمياه، الرياض .

التوالي . ولكن الأمطار السنوية التي تتراوح كمياتها ما بين ٥٠ مم إلى ١٠٠ مم فإنها تمثل ٤٢٪ و ٥٠٪ في محطتي القويعية وعروى على التوالي . بينما تنخفض النسبة في هذه الفئة إلى حوالي ٢٠٪ في محطتي صباحا والرین .

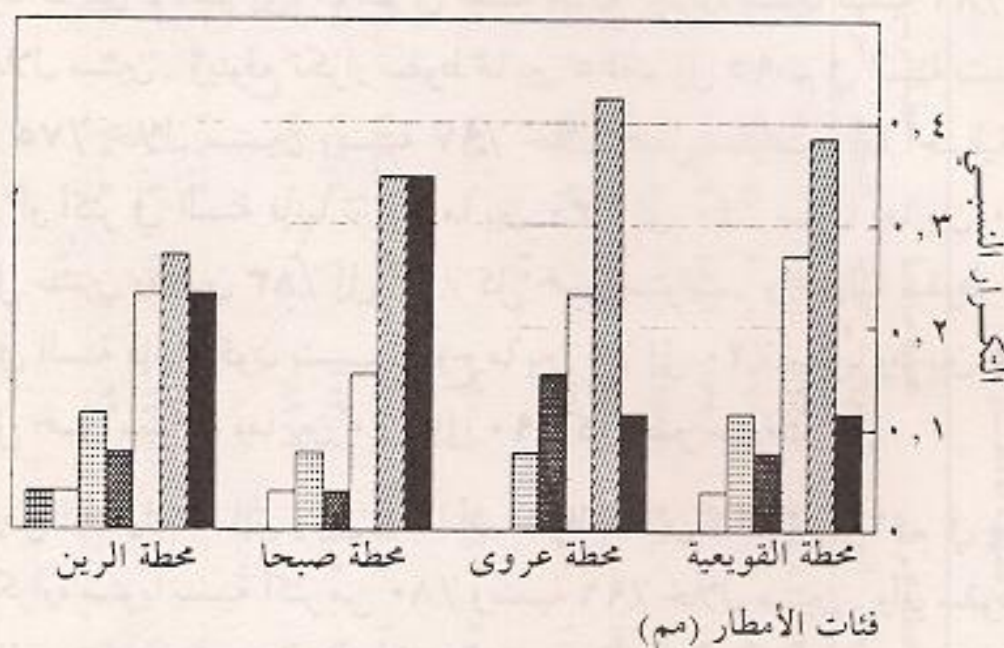
وتختلف كمية الأمطار السنوية وأعلى كمية أمطار يومية في السنة بمنطقة القويعية من وقت إلى آخر ومن مكان إلى آخر . وهذا أمر طبيعي لأن الاختلاف في كميات الأمطار يعد سمة من سمات الأراضي الجافة . فمن جدول (١) يتضح أيضاً أن الأمطار السنوية وأعلى كمية أمطار يومية في السنة تتفاوت بشكل كبير من سنة إلى أخرى ومن مكان إلى آخر في المنطقة . فعلى سبيل المثال وجد أن الفرق بين أعلى كمية أمطار سنوية وأدنى كمية أمطار سنوية خلال سنوات التسجيل يساوي ٣٤٢,٩ مم و ٢١٣,٩ مم و ٢٢٢ مم و ٣١٠,٩ مم في محطات القويعية وعروى وصباحا والرین على التوالي . أما المدى بين أعلى كميات أمطار يومية في السنة فإنه يتراوح بين ٤٢,٩ مم في محطة عروى و ٦٣,٧ مم في محطة الرین . من ناحية أخرى فإن الأمطار في المنطقة تتباين مكانياً إلى حد كبير وتظهر هذه السمة بوضوح في جدول رقم (١) . فبمقارنة أعلى كمية أمطار يومية لعام ١٩٨٥ م ، على سبيل المثال ، نجد أنها كانت ٦٠ مم في محطة الرین بينما كانت ٥ مم في محطة صباحا للعام نفسه . والتباين الزمني كبير في المنطقة بشكل عام ولكنه يختلف أيضاً من مكان إلى آخر . ويتبين ذلك من معامل الإختلاف Coefficient of Variation للأمطار في محطات المنطقة . فلقد وجد أن معامل الإختلاف للأمطار السنوية في محطات المنطقة يتراوح ما بين ٥٨,٩٪ و ٨٢,٩٪ . أما معامل الإختلاف لأعلى كمية أمطار يومية في السنة فإنه يتراوح ما بين ٥٥,٩٪ و ٧٣,١٪ . ولقد وجدت أدنى قيمة لمعامل الإختلاف للأمطار السنوية ولأعلى كمية أمطار يومية في السنة في محطة عروى . أما أعلى قيمة لمعامل الإختلاف للأمطار السنوية ولأعلى كمية أمطار يومية في السنة فقد وجدت في محطة الرین . وهذا يعني أن الأمطار في محطة عروى أكثر انتظاماً منها في محطة الرین .



■ ٥٠ مم أو أقل □ ١٠٠ - ٥٠ مم □ ١٥٠ - ١٠٠ مم ■ ١٥٠ - ١٠٠ مم □ ٢٠٠ - ١٥٠ مم

■ أكثر من ٣٠٠ مم □ ٢٥٠ - ٣٠٠ مم □ أكثر من ٣٠٠ مم

شكل ٢: التكرار النسبي للأمطار السنوية بمنطقة القويبة (١٩٦٦-١٩٩١م)



■ ١٠ مم أو أقل □ ٢٠ - ١٠ مم □ ٣٠ - ٢٠ مم □ ٤٠ - ٣٠ مم

■ أكثر من ٦٠ مم □ ٥٠ - ٦٠ مم □ أكثر من ٦٠ مم

شكل ٣: التكرار النسبي لأعلى كمية أمطار يومية في السنة بمنطقة القويبة (١٩٦٦-١٩٩١م)

تستخدم طريقتنا فترة الرجوع والإحتمالية للتعرف على تكرار سقوط كمية أمطار معينة . ويقصد بفترة الرجوع متوسط المدة الزمنية بالسنين بين سقوط كمية معينة وسقوط كمية مماثلة لها أو أكبر منها . أما الإحتمالية فتشير إلى احتمال سقوط كمية معينة أو كمية أكبر منها . وحيث إن فترة الرجوع تعد متوسطاً للفواصل الزمنية بين حالات حدوث events وقعت خلال عدد كبير من السنين ، لذا فإن كمية الأمطار عند فترة الرجوع ٢٠ سنة ، على سبيل المثال ، لا تعني أنها سوف تحدث بعد ٢٠ سنة بالضبط ، بل إنه من الممكن أن تحدث هذه الكمية خلال سنتين متلاحقتين أو قد لا تحدث خلال ٣٠ سنة أو أكثر (Dune and Leopold, 1978).

يبين الجدول رقم (٢) فترة الرجوع واحتمالية التجاوز (احتمالية سقوط كمية معينة أو كمية أكبر منها السنة القادمة) والإحتمالية لسنوات قادمة محددة وذلك للأمطار السنوية ولأعلى كميات أمطار يومية في السنة في محطات منطقة القويعية . فمن هذا الجدول يتبين أن سقوط ما بين ١٤ مم إلى ٦٠ مم في السنة متوقع تكراره سنوياً بنسبة ٨١٪ وبنسبة ٩٦٪ خلال سنتين . ويتوقع تكرار سقوط ما بين ٥٥ مم إلى ٩٥ مم في السنة بنسبة ٥٠٪ وبنسبة ٧٥٪ خلال سنتين وبنسبة ٩٧٪ خلال خمس سنوات . أما احتمالية سقوط ١٠٠ مم أو أكثر في السنة فإنها تتراوح ما بين ٣٠٪ إلى ٤٠٪ سنوياً وما بين ٥٠٪ إلى ٦٥٪ كل سنتين وما بين ٨٣٪ إلى ٩٣٪ كل خمس سنوات . واحتمالية سقوط ٢٠٠ مم أو أكثر في السنة فإنها تكون بنسب تتراوح ما بين ٥٪ إلى ٢٠٪ سنوياً وما بين ٢٥٪ إلى ٦٥٪ كل خمس سنوات وما بين ٤٠٪ إلى ٩٠٪ كل عشر سنوات .

ومن الجدول السابق يتبين أيضاً أن سقوط ما بين ٦ مم إلى ١١ مم في يوم واحد متوقع تكراره سنوياً بنسبة أكثر من ٨٠٪ وبنسبة ٩٦٪ خلال سنتين . وأن سقوط ما بين ١٦ مم إلى ٢٠ مم في يوم واحد متوقع تكراره سنوياً بنسبة ٥٠٪ وبنسبة ٧٥٪ خلال سنتين وبنسبة ٩٧٪ خلال خمس سنوات . أما احتمالية سقوط ٤٠ مم في يوم واحد خلال خمس سنوات فإنها تكون ٥٦٪ و ٣٠٪ و ٤٤٪ و ٦٣٪ في محطات القويعية وعروى وصباحا والرین على التوالي . وتكون احتمالية سقوط هذه الكمية خلال عشر سنوات حوالي ٨٠٪ في محطة القويعية و ٥٢٪ في محطة عروى و ٦٩٪ في محطة صباحا و ٨٦٪ في محطة الرین .

جدول ٢. احتمالية حدوث كميات الأمطار السنوية وأعلى كمية أمطار يومية خلال السنوات القادمة في منطقة القويمية ١٩٦٦-١٩٩١م

الاحتمالية للسنوات القادمة	احتمالية التجاوز	فترة الرجوع بالسنين T	الرتبة m	كمية الأمطار (مم)									
				معدلة الربيع	معدلة الصيف	معدلة الخريف	معدلة الشتاء	معدلة الصيف	معدلة القويمية السنوية				
٠,٠٦٤	٠,٠٣٣	٠,٠١٨	٠,٠٠٤	٢٧,٠٠٠	١	٦٥,٠	٣١٣,٠	٥٢,٠	٢٢٢,٠	٤٩,٨	٢٣٨,٢	٦٢,٤	٣٤٥,٦
٠,٠٨٤	٠,٠٥٢	٠,٠٣٠	٠,٠١٧	١٣,٥٠	٢	٦٠,٠	٢٢٣,٤	٥٠,٠	١٧٨,٩	٤١,٥	١٨٢,٩	٤٤,٠	٢٨٦,٥
٠,٠٩٥	٠,٠٦٩	٠,٠٤٤	٠,٠١١	٩,٠٠٠	٣	٥٠,٠	٢١٤,٤	٤١,١	١٣٩,٠	٣٦,٨	١٤١,٦	٤٢,٩	٢٤٢,٦
٠,٠٩٨	٠,٠٨٠	٠,٠٥٦	٠,٠١٥	٦,٧٥٥	٤	٤٥,٥	١٩٦,٥	٣١,٠	١٣٨,٦	٣٢,٢	١٣٥,٧	٤١,٧	٢١٢,٨
٠,٠٩٩	٠,٠٨٦	٠,٠٦٣	٠,٠١٨	٥,٤٠	٥	٤٠,٥	١٩٣,٠	٢٨,٠	١٣٨,٠	٣٢,٠	١١٦,٦	٣٥,٤	٢١١,٣
١,٠٠٠	٠,٠٩٢	٠,٠٧١	٠,٠٢٢	٤,٥٠	٦	٣٩,٢	١٧١,٦	٢٢,٠	١٣٧,١	٣١,٠	١٠٧,٦	٣٢,٨	١٧١,٣
١,٠٠٠	٠,٠٩٤	٠,٠٧٥	٠,٠٤٢	٤,١٥	٦,٥	٢٢,٠							
١,٠٠٠	٠,٠٩٥	٠,٠٧٨	٠,٠٤٥	٣,٨٦	٧	٣٩,٢	١٥٩,٠	١٢,٠	١٢٠,٠	٢٧,٥	١٠٦,٢		١٧٠,٧
١,٠٠٠	٠,٠٩٦	٠,٠٨١	٠,٠٤٨	٣,٦٠	٧,٥								
١,٠٠٠	٠,٠٩٧	٠,٠٨٣	٠,٠٥١	٣,٣٧	٨	٢٦,٠	١٤٦,٠	٢٠,٣	١١٨,٧	٢٦,٥	١٠٢,٠		١٢٧,٤
١,٠٠٠	٠,٠٩٨	٠,٠٨٦	٠,٠٥٥	٣,٠٠	٩	٢٥,٠	١٢٠,٤	١٠,٣	١٠٣,٠	٢٥,٥	٩٣,٤	٢٥,٩	١١٥,٥
١,٠٠٠	٠,٠٩٩	٠,٠٩٠	٠,٠٦٠	٢,٧٠	١٠	٢٣,٨	١٢٠,٠	٨٩,٤		٨٧,٩	٢٥,٥	١٠٧,٧	
١,٠٠٠	٠,٠٩٩	٠,٠٩١	٠,٠٦٣	٢,٥٧	١٠,٥								
١,٠٠٠	٠,٠٩٩	٠,٠٩٣	٠,٠٦٥	٢,٤٥	١١	٢٣,٥	١٠٧,٤	٧٣,٣		٧٨,٨	٢٤,٤	١٠٠,٢	
١,٠٠٠	١,٠٠٠	٠,٠٩٤	٠,٠٦٩	٢,٣٥	١٢	٢٣,٠	٩١,١	٦٤,٠		٧٧,٥	٢٢,٥	٩٩,٥	
١,٠٠٠	١,٠٠٠	٠,٠٩٦	٠,٠٧٣	٢,٠٨	١٣	٢٢,٢	٧٥,٥	٦٢,٠		٧٥,٠	٢٠,٥	٩٥,٦	
١,٠٠٠	١,٠٠٠	٠,٠٩٧	٠,٠٧٥	٢,٠٠	١٣,٥			٦٦,٠					

تابع جدول ٢ . احتمالية حدوث كميات الأمطار السنوية وأعلى كمية أمطار يومية خلال السنوات القادمة في منطقة القويمية ١٩٦٦-١٩٩١م

الاحتمالية للسنوات القادمة		احتمالية التجاوز		الرتبة m	كمية الأمطار (مم)					
q	سنوات ١٠ سنوات ٥	p	T بالسنين		حطة الرئيس السنوية	حطة صبيحا اليومية	حطة السنوية اليومية	حطة صرورى اليومية	حطة السنوية اليومية	حطة القويمية السنوية
١,٠٠٠	١,٠٠٠	٠,٠٩٧	١,٠٩٣	١٤	٢٠,٠	٥٤,٦	٥٩,٩	١٥,٠	٦٥,٤	٩٥,٢
١,٠٠٠	١,٠٠٠	٠,٠٧٩	١,٠٨٦	١٤,٥					١٩,٠	
١,٠٠٠	١,٠٠٠	٠,٠٩٨	١,٠٨٠	١٥	١٨,٢	٥٢,٨	٥٩,٢	١٤,٠	٦٥,٠	٩٢,٠
١,٠٠٠	١,٠٠٠	٠,٠٨٠	١,٠٥٩	١٦	١٧,٠	٥٠,٤	٤٨,٢	١٣,٠	٦٣,٤	٩١,٧
١,٠٠٠	١,٠٠٠	٠,٠٩٩	١,٠٦٩	١٦	١٣,١	٤٤,١	٤٤,١	١٢,٠	٦٣,٠	٩١,٧
١,٠٠٠	١,٠٠٠	٠,٠٨٦	١,٠٥٩	١٧	١٣,١	٤٤,١	٤٤,١	١٢,٠	٦٣,٠	٩١,٧
١,٠٠٠	١,٠٠٠	٠,٠٩٩	١,٠٥٩	١٧	١٣,١	٤٤,١	٤٤,١	١٢,٠	٦٣,٠	٩١,٧
١,٠٠٠	١,٠٠٠	٠,٠٨٩	١,٠٥٠	١٨	١٢,٠	٣٩,١	٣٤,٠	١٢,٠	٦٢,٦	٧٦,١
١,٠٠٠	١,٠٠٠	٠,٠٩٠	١,٠٤٦	١٨,٥						
١,٠٠٠	١,٠٠٠	٠,٠٩٠	١,٠٤٦	١٨,٥						
١,٠٠٠	١,٠٠٠	٠,٠٩١	١,٠٤٢	١٩	١١,٥	٣٨,٠	٣٣,٣	١١,٧	٥٩,٠	٦٩,٤
١,٠٠٠	١,٠٠٠	٠,٠٩٣	١,٠٣٥	٢٠	١١,٠	٣٧,٥	٣٢,٥	١١,٥	٥١,٠	٦٤,٨
١,٠٠٠	١,٠٠٠	٠,٠٩٥	١,٠٢٩	٢١	٨,٥	٢٩,٣	٢٠,١	١١,٠	٥٠,١	٦٠,٢
١,٠٠٠	١,٠٠٠	٠,٠٩٦	١,٠٢٣	٢٢	٨,٢	٢٨,٥	١٤,٥		٣٣,٩	٥٩,٢
١,٠٠٠	١,٠٠٠	٠,٠٩٧	١,٠٢٠	٢٢,٥				١٠,٤		
١,٠٠٠	١,٠٠٠	٠,٠٩٨	١,٠١٧	٢٣	٧,٠	٢٦,٢	١٤,١		٣٣,٨	٤٤,٩
١,٠٠٠	١,٠٠٠	٠,٠٩٩	١,٠١٢	٢٤	٦,٣	١٦,٩	١٣,٠	٩,٠	٣٣,٠	٤٥,٦
١,٠٠٠	١,٠٠٠	٠,٠٩٩	١,٠١٠	٢٤,٥						
١,٠٠٠	١,٠٠٠	٠,٠٩٩	١,٠٠٨	٢٥	٤,٠	٥,٥	٨,٠	٨,٠	٣١,٢	٤٠,٧
١,٠٠٠	١,٠٠٠	٠,٠٩٦	١,٠٠٤	٢٦	١,٣	٢,١	٠,٠	٦,٩	٢٤,٣	٢٠,٧

* كمية الأمطار متساوية في سنتين

** كمية الأمطار متساوية في ثلاث سنوات

مصدر البيانات : وزارة الزراعة والمياه، الرياض.

ترتبط بيانات الأمطار في المحطات السابقة بأماكن جغرافية محددة ولذا فإن تحليل بيانات كل محطة يسمى التحليل الموضعي Point analysis. ولكن هناك طرق تمكن من تحليل تكرارية الأمطار على المستوى الإقليمي من أكثرها شيوعاً طريقة Station-year. وقد طبق Wan (1976) هذه الطريقة لتحليل تكرارية الأمطار في المملكة العربية السعودية. وقد قارن نتائج دراسته مع نتائج أخرى في أمريكا والاتحاد السوفيتي (سابقاً) وأستراليا، وذكر في خاتمة دراسته بأن تطبيق هذه الطريقة ممكن في المملكة العربية السعودية. ويتمثل نموذج station-year في تركيب بيانات الأمطار في محطات المنطقة لتعطي بيانات لفترة أطول تساوي مجموع سنين التسجيل في المحطات المستخدمة. وهذا النموذج مبني على افتراضين. الأول أن تكون حالات حدوث events الأمطار مستقلة. والافتراض الثاني أن يكون للأمطار في المحطات على المدى البعيد (آلاف السنين) التوزيع التكراري نفسه (Gilman, 1964). وعلى الرغم من أن هذه الطريقة مبنية على افتراضات يصعب التأكد منها إلا أنها تستخدم بشكل واسع لتحليل تكرارية الأمطار على المستوى الإقليمي. ولتطبيق هذه الطريقة لا بد أن يكون الإقليم متجانساً إحصائياً.

وللتأكد من تجانس الإقليم طبق اختبار كروسكال واليس (اختبار «هـ») Krus-kal-Wallis H-test على بيانات الأمطار السنوية في محطات المنطقة. ولحساب قيمة «هـ» لا بد من ترتيب بيانات الأمطار مجتمعة تصاعدياً كما في ملحق رقم (١). ويتطبيق هذه الطريقة على بيانات الأمطار في المنطقة وجد أن قيمة «هـ» تساوي ١٥٤,٤. وحيث أن عدد الحالات في كل محطة تزيد على خمس لذا فإن قيمة «هـ» تقارن بقيم مربع كاي النظرية في الجداول الخاصة بذلك. وبما أن درجة الحرية تساوي عدد المجموعات المراد اختبارها (المحطات) مطروحاً منه واحد لذا فإن قيمة مربع كاي الجدولية عند مستوى الدلالة ٠,١٠ ودرجة الحرية ٣ تساوي ٦,٢٥١. ولأن قيمة «هـ» أصغر من قيمة مربع كاي (الجدولية) لذا تقبل الفرضية الأولية وهي أن إقليم الدراسة متجانس إحصائياً (أبوراضي ١٩٨٣م).

ولتقدير كميات الأمطار لفترات الرجوع المختلفة لابد من اختيار التوزيع الإحتمالي الأكثر توافقاً مع بيانات الأمطار. وعلى الرغم من أنه يوجد العديد من التوزيعات الاحتمالية التي يمكن استخدامها لتحليل التكرار في الدراسات المائية، إلا أن الأمطار السنوية في العادة تتبع التوزيع الاحتمالي المعتدل (الطبيعي) (Dune and Leopold 1978), Normal Probability distribution ، بينما أعلى كمية أمطار يومية في الغالب تتبع التوزيع الاحتمالي للقيم القصوى (Chow et al, 1988), Extreme. Value Type 1 Probability distribution (EVI). ولذا فقد تم تطبيق التوزيعين المذكورين على كل من الأمطار السنوية وأعلى كمية أمطار يومية في السنة .

ولاختيار التوزيع الإحتمالي الأكثر توافقاً مع بيانات الأمطار في المنطقة تم اختبار حسن المطابقة Goodness of Fit للتوزيعين المذكورين وذلك باستخدام طريقة مربع كاي . ولهذا الغرض فقد قسمت كميات الأمطار إلى عدة فئات بفاصل قدره ٥٠مم للأمطار السنوية و ١٠مم لأعلى كمية أمطار يومية في السنة . وقد روعي عند ذلك أن لا يقل عدد الفئات عن أربع وذلك للحصول على درجة حرية لا تقل عن واحد . فعدد الثوابت في التوزيعين السابقين تساوي ٢ ودرجة الحرية تساوي عدد الفئات ناقصاً عدد الثوابت (المعالم) Parameters ناقصاً واحد . ولحساب قيم مربع كاي لابد من حساب التكرار النسبي f_x وقيم p_x والتي هي عبارة عن الفرق بين قيم الاحتمالية التجمعية (دالة التوزيع الاحتمالي) F_x وذلك لكل فئة من فئات الأمطار. فإذا كانت قيم التكرار النسبي تختلف كثيراً عن قيم p_x فسوف يؤدي هذا إلى الحصول على قيم كبيرة لمربع كاي مما يعني عدم توافق التوزيع الإحتمالي مع البيانات .

يبين الجدولان رقم (٣) ورقم (٤) نتائج مربع كاي لاختبار حسن المطابقة للتوزيع الإحتمالي المعتدل والتوزيع الإحتمالي للقيم القصوى مع الأمطار السنوية ومع أعلى كمية أمطار يومية في السنة بمنطقة القويعية . فمن جدول (٣) يتبين أن قيم مربع كاي للتوزيع المعتدل تتراوح ما بين ٢,٠٠٩٥ في محطة صباحا (درجة الحرية ٢) إلى ٨,٠٦٣٩ في محطة القويعية (درجة الحرية ٤)، أما في المنطقة بكاملها (التحليل

جدول ٣. نتائج مربع كاي للاختبار حسن المطابقة للتوزيع المعتدل وتوزيع القيم القصوى EVI مع الأمطار السنوية في منطقة القروية

الأقليم	محطة الرين		محطة صبيحا		محطة عروى		محطة القروية		فترة الأمطار (س)	
	التوزيع EVI	المعدل	التوزيع EVI	المعدل	التوزيع EVI	المعدل	التوزيع EVI	المعدل		
٠,٠٣٩٧	٠,٣٢٠١	١,٣٢٤٥	١,٧٨٣٢	٠,٢٧٤٨	٠,٨٤٢٤	٠,٨١٤٠	٠,٢١١٦	٠,١٣٣٦	٠,٢٢٩٣	٥٠ من أقل
٠,٠٤٢٣	١,٥٧٩٧	٠,٠١٦١	٠,٠٤٥٨	٠,٤٢٠٣	٠,١٧٤١	٠,٠١٣٩	٠,٣٩٥١	١,٤٦٥٦	٤,٧٩٨٣	١٠٠-٥٠
٠,٠٠٠٤	١,٥٥٠٩	٠,٧٢٠٦	١,٠٦٧٤	٠,٤٦٤٧	٠,٠٠٠٧	٠,٠٠٣٨	٠,٤٣٤٣	٠,٠٤١٦	٠,١٠٣٢	١٥٠-١٠٠
٠,١٥٥٠	٤,٢٣٤٣	٠,٢٤٥٩	٠,٠١٨٨	٠,٤٣٣٣	٠,٩٩٢٢	٠,٤٧٧٢	٠,٩٦٣٥	١,١٩٠٦	١,٧٧٧٤	٢٠٠-١٥٠
٠,٩٧٩١	٠,٢٥١٢	١,٠٨٤٧	٠,٣١٠٠	٠,٠١٤٩	٠,٠٠٠١	٠,٠٠٠٨	٠,٣٠٠٩	٠,١٠١٨	٠,٧٩٩٥	٢٥٠-٢٠٠
٠,٥٦٧٦	٠,١٤٨٣									٢٥٠-٢٠٠
٠,٠٢٩٦	٦,٠٠٠٧	٠,٤٧١٤	٠,٢٣٨٠					٠,٠٠٧٢	٠,٣١١٢	أكثر من ٣٠٠
٢,٨١٣٧	١٣,٠٩١٥	٤,٣٦٣٢	٣,٤٦٣٢	١,٦٠٨٠	٢,٠٠٩٥	١,٣١٦٩	٢,٣٠٥٤	٢,٩٤٠٥	٨,٠٦٣٩	المجموع
	Σ		Σ		Σ		Σ		Σ	درجة الحرية
٩,٤٩		٧,٨١		٥,٩٩		٥,٩٩		٩,٤٩		الخطأ المحروجة 0,05 X ²
٧,٧٨		٦,٢٥		٤,٦١		٤,٦١		٧,٧٨		الخطأ المحروجة 0,10 X ²

الإقليمي) فإن قيمة مربع كاي تساوي ١٣,٠٩١٥ (درجة الحرية ٤). وبالنسبة للتوزيع الإحتمالي للقيم القصوى فإن قيم مربع كاي تتراوح ما بين ١,١٣٦٩ (درجة الحرية ٢) في محطة عروى إلى ٤,٣٦٣٢ (درجة الحرية ٣) في محطة الرين، أما في الإقليم فقد وجد أن قيمة مربع كاي تساوي ٢,٨١٣٧ (درجة الحرية ٤).

وبالنسبة لأعلى كمية أمطار يومية فإنه يتبين من جدول (٤) أن قيم مربع كاي للتوزيع الإحتمالي المعتدل تتراوح ما بين ٥,٦٣٨ (درجة الحرية ٣) في صباحا إلى ٨,٦٢١٢ (درجة الحرية ٤) في محطة الرين، أما في الإقليم فإنها تساوي ٢٠,٦٢٧٤. ويتبين أيضاً أن قيم مربع كاي للتوزيع الإحتمالي للقيم القصوى تتراوح ما بين ١,١١٠٥ (درجة الحرية ٣) في محطة صباحا إلى ٤,٣٤٣١ (درجة الحرية ٤) في محطة الرين، بينما في الإقليم تساوي ٥,٧٦٧٥.

ولقبول الفرضية الأولية، أي أن التوزيع المشاهد للأمطار يتبع التوزيع المتوقع عند مستوى دلالة معين لا بد أن تكون قيم مربع كاي المحسوبة أقل من القيم الحرجة له في الجداول الخاصة بذلك. وبمقارنة قيم مربع كاي المحسوبة مع القيم الحرجة لمربع كاي في الجداول الخاصة به وجد أن القيم المحسوبة للتوزيع الإحتمالي المعتدل أقل من القيم الحرجة عند مستوى الدلالة ٠,٠٥، باستثناء الإقليم، بينما وجد أن القيم المحسوبة للتوزيع الإحتمالي للقيم القصوى أقل من القيم الحرجة عند مستوى الدلالة ٠,١٠ وذلك للمحطات وللإقليم على حد سواء. وهذا يعني أن التوزيع الاحتمالي للقيم القصوى يكون أكثر توافقاً مع بيانات الأمطار السنوية وبيانات أعلى كمية أمطار يومية في السنة. عليه تقبل فرضية أن الأمطار السنوية وأعلى كمية أمطار يومية في السنة في محطات منطقة القويعية تتبع التوزيع الإحتمالي للقيم القصوى نوع ١ (EVI) عند مستوى الدلالة ٠,١٠. الأمر الذي يجعل هذا الإحتمال مناسباً لتحديد العلاقة بين كمية وتكرار سقوط الأمطار في منطقة القويعية، وبالتالي يمكن استخدامه لتقدير كميات الأمطار لفترات الرجوع المختلفة.

يبين الجدول رقم (٥) تقديرات الأمطار السنوية وأعلى كميات أمطار يومية لفترات الرجوع المختلفة في منطقة القويعية. ومن هذا الجدول يتضح أن سقوط ما بين ٦٥,٨ مم إلى ١٠٣,٤ مم في السنة متوقع تكراره كل سنتين، أما كمية الأمطار السنوية المقدرة للإقليم لهذه الفترة فإنها تساوي ٨٢,١ مم. وتتراوح الكمية السنوية المتوقعة تكرارها كل خمس سنوات بين ١١٧,٥ مم في محطة صباحا و ١٧٧,٩ مم في محطة القويعية. وبالنسبة للإقليم فإنها تقدر بـ ١٤٤,٧ مم. ويتوقع تكرار ما بين ١٤٨,٢ مم في محطة عروى و ٢٢٧,٣ مم في محطة القويعية كل عشر سنوات أما في الإقليم فإن الكمية تقدر بـ ١٨٦,١ مم.

ومن الجدول السابق يتبين أيضاً أن سقوط ما بين ١٦,١ مم في محطة صباحا إلى ٢٠,٦ مم في محطة الرين في يوم واحد يتوقع تكرارها كل سنتين. وتساوي الكمية المقدرة للإقليم في هذه الفترة ١٨,١ مم. أما أعلى كمية أمطار يومية في السنة المتوقعة تكرارها كل خمس سنوات فإنها تتراوح ما بين ٢٧,٨ مم في محطة صباحا و ٣٥,٧ مم في محطة الرين. أما كمية الأمطار اليومية المقدرة للإقليم لهذه الفترة فإنها تساوي ٣١,٣ مم. وفي كل عشر سنوات يتوقع أن يسقط في يوم واحد ما بين ٣٥,٣ مم (في محطة عروى) و ٤٥,٧ مم (في محطة الرين) أما بالنسبة للإقليم في هذه الفترة فإن كمية الأمطار اليومية المقدرة تساوي ٣٩,٥ مم.

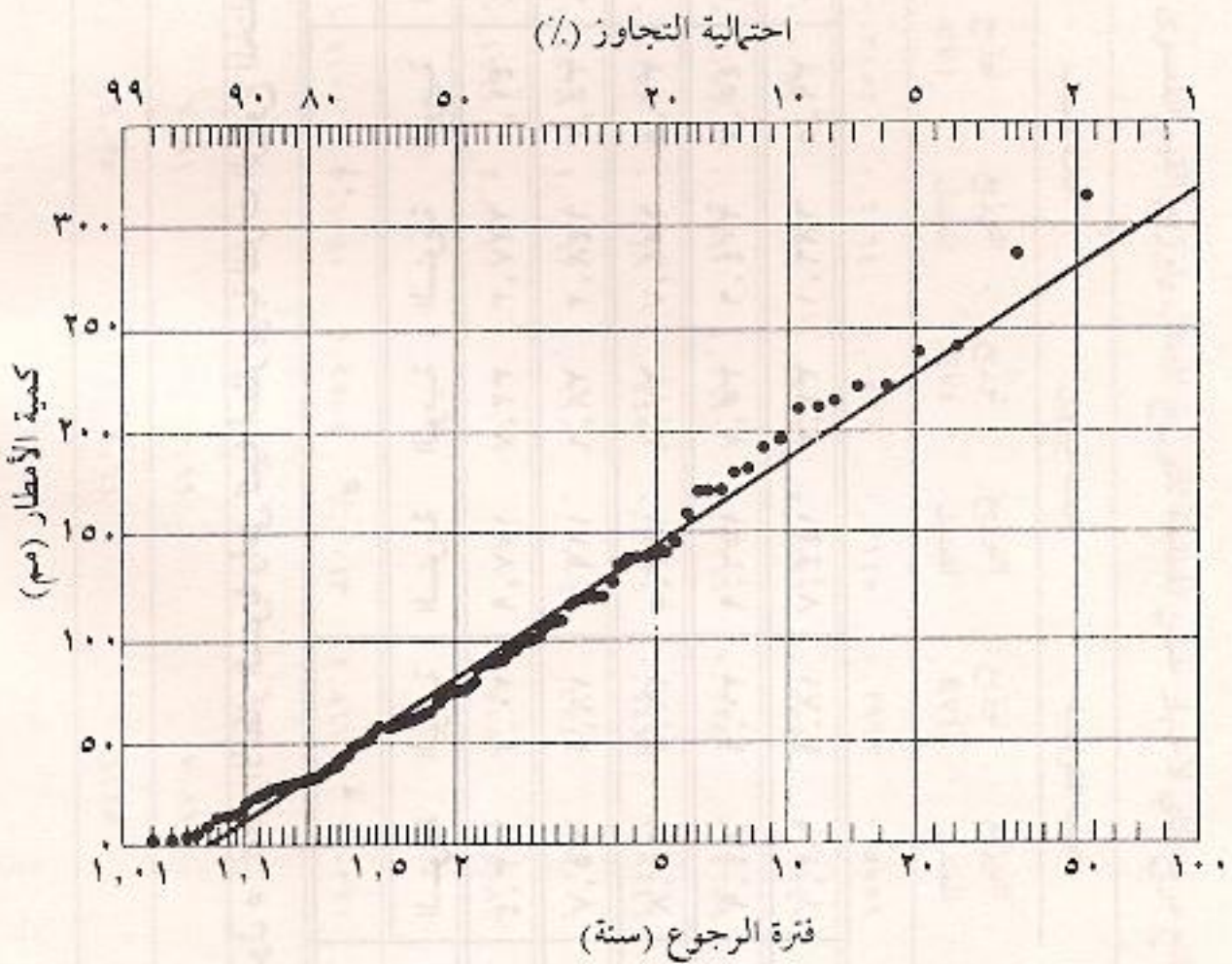
مما سبق يتضح أن أعلى كميات أمطار سنوية مقدرة لفترات الرجوع المختلفة توجد في محطة القويعية بينما تكون أدنى كميات أمطار سنوية مقدرة في محطة صباحا. أما بالنسبة لأعلى كمية أمطار يومية فيتضح من الجدول أن كميات الأمطار المقدرة في محطة الرين لفترات الرجوع المختلفة أعلى منها في بقية المحطات. وإن أقل كميات أمطار يومية مقدرة لفترات الرجوع تكون في صباحا. وهذا يتفق مع أعلى وأدنى متوسط للأمطار السنوية وكذلك مع أعلى وأدنى متوسط لأعلى كمية أمطار يومية في السنة.

وحيث إن هذه الدراسة تسعى إلى التعرف على تكرار كميات الأمطار في منطقة القويعية بشكل عام وكذلك سجل الأمطار في المنطقة يعد قصيراً نسبياً (٢٦ سنة) لذا

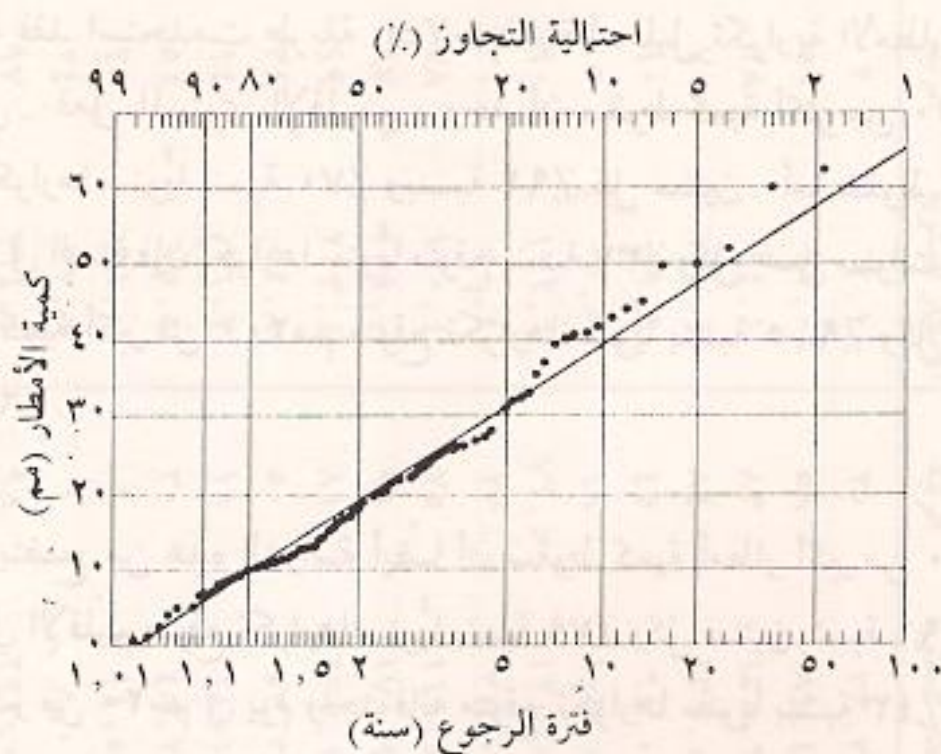
جدول ٥. تقدير الأمطار السنوية وأعلى كمية أمطار يومية لفترات الرجوع المختلفة في منطقة القومية (مم)

فترة الرجوع (سنة)	٢		٥		١٠		٢٥		٥٠	
	اليومية	السنوية	اليومية	السنوية	اليومية	السنوية	اليومية	السنوية	اليومية	السنوية
محطة القومية	٢٠,١	١٠٣,٤	٣٢,٧	١٧٧,٩	٤١,٠	٢٢٧,٣	٥١,٥	٢٨٩,٦	٣٣٥,٨	٥٩,٣
محطة عروى	١٨,٥	٧٥,٧	٢٨,٦	١١٩,٣	٣٥,٣	١٤٨,٢	٤٣,٧	١٨٤,٨	٢١١,٩	٥٠,٠
محطة صبحا	١٦,١	٦٥,٨	٢٧,٨	١١٧,٥	٣٥,٥	١٥١,٧	٤٥,٣	١٩٥,٠	٢٢٧,٠	٥٢,٦
محطة الرين	٢٠,٦	٨٤,٩	٣٥,٧	١٥٦,٩	٤٥,٧	٢٠٤,٦	٥٨,٤	٢٦٤,٩	٣٠٩,٦	٦٧,٨
الإقليم	١٨,٨	٨٢,١	٣١,٣	١٤٤,٧	٣٩,٥	١٨٦,١	٤٩,٩	٢٣٨,٥	٢٧٧,٤	٥٧,٦

فإن العلاقة بين كمية وتكرار سقوط الأمطار لا يمكن استخدامها لتقدير كميات الأمطار لفترات رجوع كبيرة ولكن استخدام التحليل الإقليمي يمكن من التغلب على هذه المشكلة، ويمكن التحليل الإقليمي أيضاً من الحصول على صورة عامة لتكرار الأمطار في المنطقة. ولذا فقد مثلت العلاقة بين كمية وتكرار سقوط الأمطار في كامل المنطقة (الإقليم) (شكل ٤ وشكل ٥). ومن هذين الشكلين يمكن تقدير كميات الأمطار السنوية أو أعلى كمية أمطار يومية في السنة لأية فترة رجوع.



شكل ٤ : العلاقة بين كمية وتكرار الأمطار السنوية بمنطقة القويبية



شكل ٥ : العلاقة بين كمية وتكرار أعلى كمية أمطار يومية في السنة بمنطقة القويعية

الخاتمة

لقد تم تحليل تكرار الأمطار السنوية وأعلى كمية أمطار يومية في السنة في جميع محطات الأمطار بمنطقة القويعية. ووجد أن تكرار كميات الأمطار السنوية وأعلى كمية أمطار يومية في السنة تختلف من محطة إلى أخرى. فعلى سبيل المثال وجد أن أعلى تكرار لكميات الأمطار السنوية التي تزيد على ٥٠ مم كان في محطة القويعية (٨٥٪) بينما وجد أن أقل تكرار لها كان في محطة صباحا (٥٨٪). أما أعلى كمية أمطار يومية في السنة تزيد في كميتها على ٢٠ مم في اليوم الواحد فقد وجد أنها تمثل ٥٠٪ في محطتي القويعية والرئين بينما لا تمثل في محطتي عروى وصباحا إلا ٤٦٪ و ٣١٪ على التوالي.

ونظراً للقصر النسبي لسجل الأمطار في محطات المنطقة وللرغبة أيضاً في التعرف على تكرار كميات الأمطار بشكل عام في المواقع التي لا تتوفر بها محطات في منطقة

القوية فقد استخدمت طريقة Station-Year لتحليل تكرارية الأمطار على المستوى الإقليمي. فعلى المستوى الإقليمي، وجد أن سقوط كمية أكثر من ٥٠ مم في السنة متوقع تكرارها سنوياً بنسبة ٧٠٪ وبنسبة ٩١٪ كل سنتين. أما سقوط كمية أكثر من ١٠٠ مم في السنة فإن تكرارها سنوياً متوقع بنسبة ٣٧٪ وكل خمس سنوات بنسبة ٩٠٪. وسقوط كمية أكبر من ٢٠٠ مم متوقع تكرارها سنوياً بنسبة ٩,٥٪ وكل عشر سنوات بنسبة ٦٣٪.

ويتضح من هذه الدراسة أيضاً أن سقوط كمية أمطار أكبر من ١٠ مم في اليوم الواحد في الإقليم متوقع تكرارها سنوياً بنسبة ٧٩٪ وكل سنتين بنسبة ٩٦٪. أما سقوط أمطار أكبر من ٢٠ مم في يوم واحد فإنه متوقع تكرارها سنوياً بنسبة ٤٣٪ وبنسبة ٩٤٪ كل خمس سنوات. وسقوط كمية أمطار أكبر من ٣٠ مم في يوم واحد فإنها متوقعة سنوياً بنسبة ٢٢٪ وكل عشر سنوات بنسبة ٩١٪. وسقوط أمطار أكثر من ٥٠ مم في اليوم الواحد متوقع تكرارها سنوياً بنسبة ١٣٪ وكل عشرين سنة بنسبة ٩٤٪.

ولقد وجد أن الأمطار السنوية وأعلى كمية أمطار يومية في السنة تتبع التوزيع الإحتمالي للقيم القصوى (EVI) عند مستوى الدلالة ١٠,٠. ولذا تم استخدام هذه الطريقة لتحديد العلاقة بين كمية وتكرار سقوط الأمطار في منطقة القوية، وبالتالي تقدير كميات الأمطار لفترات الرجوع المختلفة. وبتطبيق هذا النموذج وجد أن فترة الرجوع لسقوط ٨٢ مم في السنة تكون سنتين. وعند فترة الرجوع خمس سنوات يقدر سقوط ١٤٤,٧ مم في السنة. أما فترة الرجوع لسقوط ١٨٦,١ مم تكون عشر سنوات. وبالنسبة لأعلى كمية أمطار يومية فإن فترة الرجوع لسقوط ١٨,٨ مم في يوم واحد تكون سنتين بينما تكون فترة الرجوع لسقوط ٣١,٣ مم في يوم واحد تكون خمس سنوات. وعند فترة الرجوع عشر سنوات يقدر سقوط ٣٩,٥ مم في يوم واحد. وفي الختام يمكن القول أن نتائج هذه الدراسة سوف تساعد عند التخطيط لتنمية وإدارة الموارد المائية في الدرع العربي من منطقة القوية وذلك لأن المورد المائي الرئيسي في هذا الجزء من المنطقة هو المياه الجوفية الضحلة المعتمدة كلية على مياه الأمطار المحلية.

ملحق رقم ١ . اختبار كروسكال واليس (اختبار H-test) Kruskal - Wallis H-test

الرتبة	محطة الريين		محطة صبحا		محطة عروى		محطة القريعية		السنة
	الأمطار السنوية	الرتبة	الأمطار السنوية	الرتبة	الأمطار السنوية	الرتبة	الأمطار السنوية	الرتبة	
٢	٢,١	٢٠	٣٣,٣	١٢	٢٤,٣	١٣	٢٥,٦	١٩٦٦	
٥٩	٩١,٠	٥٨	٨٩,٤	٥٦	٧٨,٨	٦٠	٩١,٧	١٩٦٧	
٢٨	٤٤,١	٨٣	١٣٨,٦	٧١	١٠٧,٦	٧٢	١٠٧,٧	١٩٦٨	
٧٠	١٠٧,٤	٨٤	١٣٩,٠	٦٢	٩٣,٤	١٠٢	٢٨٦,٥	١٩٦٩	
١٠	١٦,٩	٤٥	٦٤,٠	١٩	٣٣,٠	٣	٢,٧	١٩٧٠	
٥	٥,٥	٦٨	١٠٣,٠	٧٤	١١٦,٦	٦١	٩٢,٠	١٩٧١	
٩٠	١٧١,٦	٧٦,٥	١٢٠,٠	٢٢	٣٣,٩	٩٥	٢١١,٣	١٩٧٢	
٣٢	٥٠,٤	٢٣	٣٤,٠	٤٧	٦٥,٠	٧٩	١٣٧,٤	١٩٧٣	
٧٨	١٢٠,٤	٧٥	١١٨,٧	٨٥	١٤١,٦	٨٨	١٧٠,٧	١٩٧٤	
٨٧	١٥٩,٠	٩١	١٧٨,٩	١٠٠	٢٣٨,٢	١٠١	٢٤٢,٦	١٩٧٥	
٩٩	٢٢٣,٤	٨١	١٣٧,١	٩٢	١٨٢,٩	٩٦	٢١٢,٨	١٩٧٦	
٣٤	٥٢,٨	٥٠	٧٣,٣	٤٨	٦٥,٤	٤٠	٦٠,٢	١٩٧٧	
١٤	٢٦,٢	١١	٢٠,١	٤٢	٦٢,٦	٢٩	٤٤,٩	١٩٧٨	
٥٢	٧٥,٥	٣٠	٤٨,٢	١٧	٣١,٢	٦٣	٩٥,٢	١٩٧٩	
٢٥	٣٨,٠	٩	١٤,٥	٥٧	٨٧,٩	٧٣	١١٥,٥	١٩٨٠	
٢٤	٣٧,٥	٦	٨,٠	٣٦	٥٩,٠	٥٤	٧٧,١	١٩٨١	
٩٧	٢١٤,٤	٩٨	٢٢٢,٠	٦٧	١٠٢,٠	٨٩	١٧١,٣	١٩٨٢	
٣٥	٥٤,٦	٤١	٦٢,٠	٢١	٣٣,٨	٤٦	٦٤,٨	١٩٨٣	
٨٦	١٤٦,٠	١٨	٣٢,٥	٤٣	٦٣,٠	٦٤	٩٥,٦	١٩٨٤	

تابع ملحق رقم ١ . اختبار كروسكال واليس (اختبار Mann-Whitney U Test)

حطة الريش	حطة صبحا	حطة عروى	حطة القويبية	السنة
المرتبة	المرتبة	المرتبة	المرتبة	
الأمطار السنوية	الأمطار السنوية	الأمطار السنوية	الأمطار السنوية	
٧٦,٥	٧	٥٥	٦٥	١٩٨٥
٩٣	٨٢	٣٣	١٠٤	١٩٨٦
١٥	٣٩	٨٠	٣٧,٥	١٩٨٧
٩٤	٢٦	٦٩	٥٣	١٩٨٨
١٠٣	٣٧,٥	٥١	٦٦	١٩٨٩
١٦	٨	٣١	٤٩	١٩٩٠
٢٧	١	٤٤	٤	١٩٩١
١٣٥١,٥	١١٦٨	١٣٣٤	١٦٠٦,٥	ر
٢٦	٢٦	٢٦	٢٦	ن

$$H = \frac{12}{(1+M)M} \sum_j \frac{r_j^2}{n} - \frac{3}{n} (1+M)$$

حيث أن:

ر = مجموع الرتب لكل محطة.

ن = عدد سنوات التسجيل في كل محطة.

م = مجموع قيم ن في كل المحطات.

$$H = \frac{12}{(1+104)104} \left[\frac{(1351,5)^2}{26} + \frac{(1168)^2}{26} + \frac{(1334)^2}{26} + \frac{(1606,5)^2}{26} \right] - \frac{3}{26} (1+104) = 4,1036$$

مصدر البيانات : وزارة الزراعة والمياه، الرياض.

المراجع

ISSN 1018 - 1423

- ١ - أبو راضي، فتحي عبدالعزيز، (١٩٨٣م)، الأساليب الكمية في الجغرافيا، دار المعرفة الجغرافية، ص ٦٠١-٦٠٥.
- ٢ - الوليعي، عبدالله ناصر، (١٩٨٨م)، تغيرات المناخ في المناطق الجافة: دراسة حالة المملكة العربية السعودية، الكتاب الجغرافي السنوي، العدد الرابع، جامعة الإمام محمد بن سعود الإسلامية، الرياض، ص ٣١-٨٥.

References

- [1] Abdulrazzak, M.J., *et al.*, (1988), Estimation of Natural Groundwater Recharge Under Saudi Arabian Arid Climatic Conditions, In: Simmers, I. (ed), Estimation of Natural Groundwater Recharge, D. Reidel Publishing Company, Tokyo, pp. 125-138.
- [2] Al-Shaikh, A., (1985). Rainfall Frequency Studies for Saudi Arabia, Unpublished M.Sc. Thesis, Department of Civil Engineering, King Saud University, Riyadh.
- [3] Basmaci, Y. and J.A.A. Hussein, (1988). Groundwater Recharge Over Western Saudi Arabia, In: Simmers, I. (ed), Estimation of Natural Groundwater Recharge, D. Reidel Publishing Company, Tokyo, pp. 125-138.
- [4] Bouvette, T.C., *et al.*, (1982). Revised Rainfall Frequency Analysis for Houston, Journal of the Hydraulics Division, Vol. 108, pp. 515-528.
- [5] Buishand, T.A., (1991). Extreme Rainfall Estimation by Combining Data From Several Sites, Hydrological Sciences Journal, Vol. 36, pp. 345-365.
- [6] Chow, V.T., (1951). A General Formula for Hydrologic Frequency Analysis, Trans. Amer. Geophys. Union, Vol. 32, pp. 231-237.
- [7] Chow, V.T., (1964). Frequency Analysis, In: V.T. Chow, (ed), Handbook of Applied Hydrology, McGraw-Hill Book Company, New York, pp. 8-1 - 8-42.
- [8] Chow, V.T., *et al.*, (1988). Applied Hydrology, McGraw-Hill Book Company, Singapore.
- [9] Dincer, T., (1980). Use of Environmental Isotopes in Arid-Zone Hydrology, In: Arid-Zone Hydrology-Investigations with Isotope Techniques IAEA, Vienna, pp. 23-30.
- [10] Dune, T. and L.B. Leopold, (1978). Water in Environmental Planning, W.H. Freeman and Company, San Francisco.
- [11] Gilman, C.S., (1964). Rainfall, In: V.T. Chow, (ed), Handbook of Applied Hydrology, McGraw-Hill Book Company, New York, pp. 9-1 - 9-68.
- [12] Govindarajlu, Z., *et al.*, (1976). Statistical Models for Precipitation, Research Report No. 96, University of Kentucky, Water Resources Research Institute, Lexington, Kentucky.
- [13] Haan, C.T., (1977). Statistical Methods in Hydrology, The Iowa State Univ. Press, Ames.
- [14] Jones, K.R., *et al.*, (1981). Arid Zone Hydrology for Agricultural Development, FAO, Rome.

- [15] Lloyd, J.W., (1980). An Examination of Recharge Mound Decay and Fossil Gradients in Arid Regional Sedimentary Basins, In: Arid-Zone Hydrology- Investigations with Isotope Techniques, IAEA, Vienna, pp. 23-30.
- [16] Lloyd, J.W., (1980). A Review of Various Problems in the Estimation of Groundwater Recharge, Proceedings of the Groundwater REcharge Conference, Australian Government Publishing Service, Canberra, pp. 1-25.
- [17] Oyebande, L. (1982). Deriving Rainfall Intensity-Duration-Frequency Relationships and Estimates for Regions with Inadequate Data, Hydrological Sciences Journal, Vol. 27, pp. 353-367.
- [18] Sorman, A.U. and M.J. Abdulrazzak, (1992). Infiltration-recharge through Wadi Beds in Arid Regions, Hydrological Sciences Journal, Vol. 38, pp. 173-186.
- [19] Viessman, W. Jr., *et al.*, (1977). Introduction to Hydrology, Harper & Row, Publishers, New York.
- [20] Wan, P. (1976). Point Rainfall Characteristics of Saudi Arabia, Proc. Instn. Civ. Engrs., Part 2, pp. 179-187.
- [21] Yair, A., (1990). Runoff Generation in a Sandy Area: the Nizzana Sands, Western Negev, Israel, Earth Surface Processes and Landforms, Vol. 15, pp. 597-609.

Frequency Analysis of Rainfall in the Al-Quwayiyah Area Saudi Arabia

Abstracts. Irrigated traditional agriculture is one of the main activities of the population in the Arabian Shield of the Al-Quwayiyah Area. Agriculture in the Shield area is mainly dependent on groundwater of the shallow alluvial aquifers along wadi systems sometimes underlaid by weathered bed rocks. These aquifers are mainly recharged by local rain water. Because of the relatively high intensity of rainfall and due to the fact that the Shield area is mainly hilly, direct recharge is minor and runoff recharge is the most common in the region. Therefore, the objective of this study is to obtain the frequency of total annual rainfall and the annual maximum of one-day-duration rainfall. To achieve this goal the frequency of rainfall has been discussed in terms of probability and return period. Whereas, the depth-frequency relationships have been derived using the Extreme Value Type 1 probability distribution (EV1). The derived EV1 distributions have been found to fit at a significance level greater than 0.10, implying a satisfactory fit.

بِسْمِ اللّٰهِ الرَّحْمٰنِ الرَّحِیْمِ



1422 هـ - 2001 م

RESEARCH PAPERS IN GEOGRAPHY

17



FREQUENCY ANALYSIS OF RAINFALL IN THE AL-QUWAYYAH AREA, SAUDI ARABIA

Dr. Mohammed A. Al-Saleh

1414 A.H.

1994 A.D.

OCCASIONAL PAPERS PUBLISHED BY THE SAUDI GEOGRAPHICAL SOCIETY
KING SAUD UNIVERSITY – RIYADH
KINGDOM OF SAUDI ARABIA



RESEARCH PAPERS IN GEOGRAPHY



17

**FREQUENCY ANALYSIS OF RAINFALL IN THE
AL-QUWAYIYAH AREA, SAUDI ARABIA**

Dr. Mohammed A. Al-Saleh

1414 A.H.

1994 A.D.

OCCASIONAL PAPERS PUBLISHED BY THE SAUDI GEOGRAPHICAL SOCIETY
KING SAUD UNIVERSITY-RIYADH
KINGDOM OF SAUDI ARABIA